Natural Resources Canada / Ressources naturelles Canada

GEOPHYSICAL SERIES
THORIUM / POTASSIUM

GEOLOGICAL SURVEY OF CANADA / COMMISSION GÉOLOGIQUE DU CANADA

SÉRIE DES CARTES GÉOPHYSIQUES
THORIUM / POTASSIUM

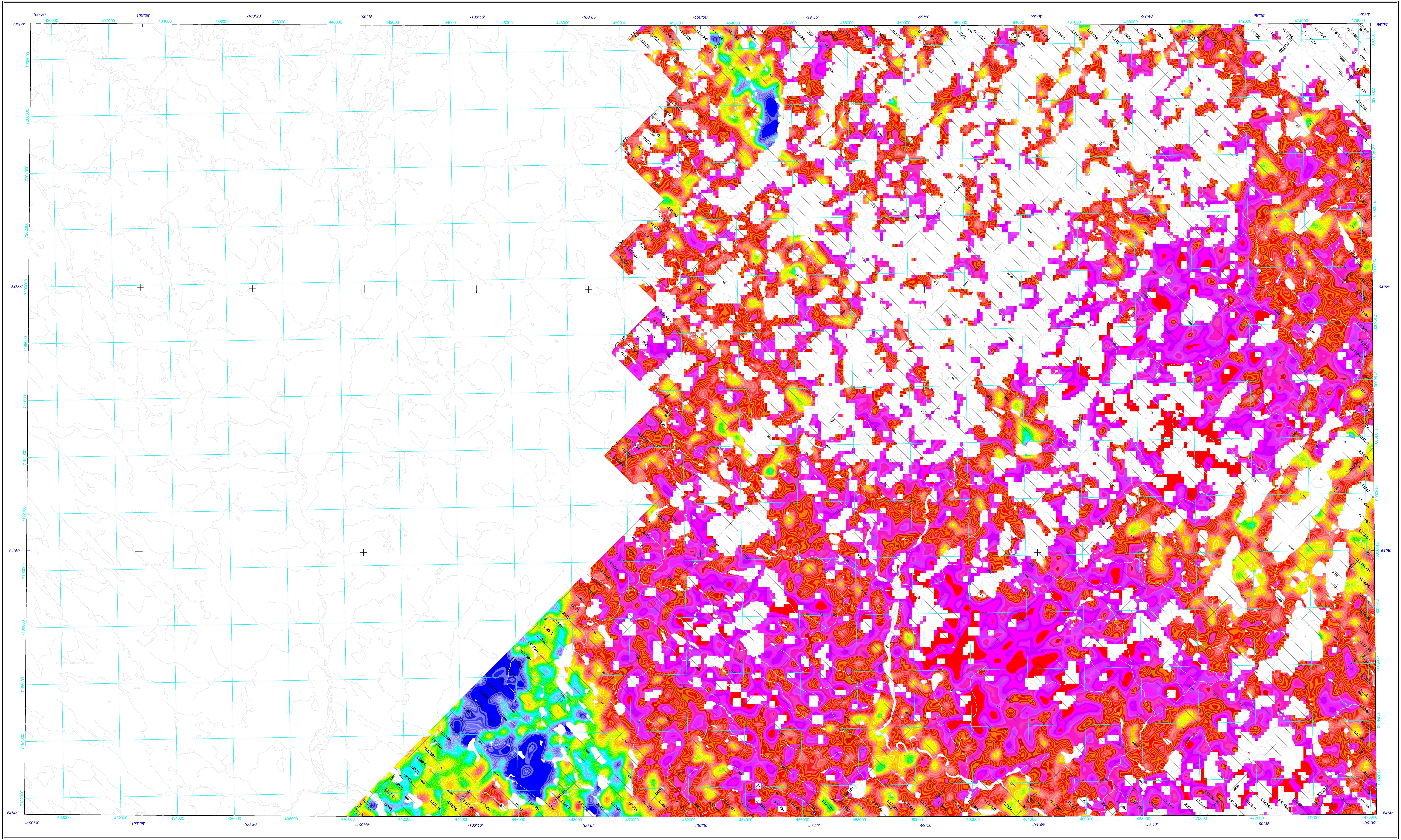

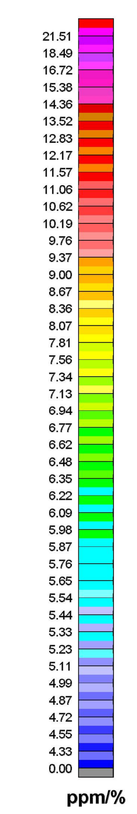

NORTHEAST THELON BASIN GEOPHYSICAL SURVEY, NUNAVUT

Introduction

A gamma-ray spectrometric and aeromagnetic airborne geophysical survey of the northeast Thelon Basin area, Nunavut, was completed by Goldak Airborne Surveys. The survey was flown from August 2nd to September 5th, 2009 using three Piper PA-31 Navajo aircraft (C-GJBA, C-GJBB, C-GJBG). The nominal traverse and control line spacings were, respectively, 400 m and 2400 m, and the aircraft flew at a nominal terrain clearance of 125 m at airspeed between 200 and of 270 km/h. Traverse lines were oriented 135° with orthogonal control lines. The flight path was recovered following post-flight differential corrections to raw data recorded by a Global Positioning System. The survey was flown on a pre-determined flight surface to minimize differences in magnetic values at the intersections of control and traverse lines.

Gamma-ray Spectrometric Data

The airborne gamma-ray measurements were made with a Radiation Solutions RS-500 gamma-ray spectrometer using fourteen 102x102x406 mm NaI (Tl) crystals. The main detector array consisted of twelve crystals (total volume 50.4 litres). Two crystals (total volume 8.4 litres), shielded by the main array, were used to detect variations in background radiation caused by atmospheric radon. The system assembles 1024 channel spectra from the individual NaI (Tl) detectors with no loss of Poisson statistics. Spectrum stabilization is accomplished by matching the recorded spectra with several natural gamma-ray peaks.

Potassium is measured directly from the 1460 keV gamma-ray photons emitted by K^{40}, whereas uranium and thorium are measured indirectly from gamma-ray photons emitted by daughter products (Bi^{214} for uranium and Tl^{208} for thorium). Although these daughters are far down their respective decay chains, they are assumed to be in equilibrium with their parents; thus gamma-ray spectrometric measurements of uranium and thorium are referred to as equivalent uranium and equivalent thorium, i.e. eU and eTh. The energy windows used to measure potassium, uranium and thorium are, respectively; 1370-1570 keV, 1660-1860 keV, and 2410-2810 keV.

Gamma-ray spectra were recorded at one-second intervals. Data processing followed standard procedures as described in IAEA, 1991 and IAEA, 2003. During processing, the spectra were energy calibrated, and counts were accumulated into the windows described above. Counts from the radon detectors were recorded in a 1660 - 1860 keV window and radiation at energies greater than 3000 keV was recorded in the cosmic window. The window counts were corrected for dead time, background activity from cosmic radiation, radioactivity of the aircraft and atmospheric radon decay products. The window data were then corrected for spectral scattering in the ground, air and detectors. Corrections for deviations from the planned terrain clearance and for variation of temperature and pressure were made prior to conversion to ground concentrations of potassium, uranium and thorium, using factors determined from flights over the Danielson, Saskatchewan test strip. The factors for potassium, uranium, and thorium are listed in Table 1.

	C-GJBA	C-GJBB	C-GJBG
Potassium (cps/%)	82.22	81.61	79.37
Uranium (cps/ppm)	11.55	12.11	12.39
Thorium (cps/ppm)	5.15	5.03	4.96

Table 1. Gamma-Ray spectrometer sensitivities for each aircraft.

Corrected data were interpolated to a 100 m grid interval. The results of an airborne gamma-ray spectrometer survey represent the average surface concentrations of the 3 natural radioelements, and are influenced by nature or overburden, presence of outcrops, vegetation cover, soil moisture and surface water. As a result the measured concentrations are usually lower than the actual bedrock concentrations.

Magnetic Data

The magnetic field was sampled 10 times per second using a split-beam cesium vapour magnetometer (sensitivity = 0.005 nT) rigidly mounted to the aircraft. Differences in magnetic values at the intersections of control and traverse lines were analysed to obtain a mutually levelled set of flight-line magnetic data. The levelled values were then interpolated to a 100 m grid. The International Geomagnetic Reference Field (IGRF) defined at the average GPS altitude of 287 m for the year 2009.64 was then removed. Removal of the IGRF, representing the magnetic field of the Earth's core, produces a residual component related essentially to magnetizations within the Earth's crust.

The first vertical derivative of the magnetic field is the rate of change of the magnetic field in the vertical direction. Computation of the first vertical derivative removes long wavelength features of the magnetic field and significantly improves the resolution of closely spaced and superposed anomalies. A property of first vertical derivative maps is the coincidence of the zero-value contour with vertical contacts of magnetic units at high magnetic latitudes (Hood, 1965).

LEVÉ GÉOPHYSIQUE AÉROPORTÉ DE LA PARTIE NORD-EST DU BASSIN DE THELON, NUNAVUT

Introduction

Un levé géophysique aéroporté de spectrométrie gamma et magnétique a été réalisé dans la partie nord-est du bassin de Thelon au Nunavut par la société Goldak Airborne Surveys. Le levé a été effectué du 2 août au 5 septembre 2009, à bord de trois avions Piper PA-31 Navajo (C-GJBA, C-GJBB, C-GJBG). L'espacement nominal des lignes de vol était de 400 m et celui des lignes de contrôle de 2 400 m. L'altitude nominale de vol était de 125 m au-dessus du sol et la vitesse était de 200 et 270 km/h. Les lignes de vol étaient orientées à 135° et les lignes de contrôle leur étaient perpendiculaires. La trajectoire de vol a été restituée par l' application après le vol de corrections différentielles aux données brutes enregistrées avec un récepteur GPS. Le levé a été effectué suivant une surface de vol prédéterminée afin de réduire le plus possible les différences de valeurs du champ magnétique aux intersections des lignes de contrôle et des lignes de levé.

Données de spectrométrie gamma

Les mesures du rayonnement gamma ont été effectuées à l'aide d'un spectromètre gamma Radiation Solutions RS-500 utilisant quatorze cristaux de NaI (Tl) de 102x102x406 mm. Le principal réseau de capteurs se composait de douze cristaux (volume total de 50,4 litres). Deux cristaux (volume total de 8.4 litres), protégés par le réseau principal, ont été utilisés pour déceler les variations du rayonnement naturel dues au radon atmosphérique. Ce système compile à partir des réponses individuelles des cristaux de NaI(Tl) un spectre de 1024 canaux en respectant une distribution de Poisson. La calibration des spectres est réalisée en ajustant les spectres enregistrés selon plusieurs pics gamma naturels.

Le potassium est mesuré directement d'après les photons gamma de 1 460 keV émis par le K^{40}, tandis que l'uranium et le thorium sont mesurés indirectement selon les photons gamma émis par des produits de filiation (Bi^{214} pour l'uranium et Tl^{208} pour le thorium). Bien que ces radionucléides de filiation se trouvent loin dans leur chaîne respective de désintégration, on présume qu'ils sont en équilibre avec leur radionucléide père; ainsi, les mesures spectrométriques du rayonnement gamma de l'uranium et du thorium sont désignées comme des équivalents d'uranium et des équivalents de thorium, soit éU et éTh. Les plages d'énergie utilisées pour mesurer le potassium, l'uranium et le thorium sont respectivement : de 1 370 à 1 570 keV, de 1 660 à 1 860 keV et de 2410 à 2 810 keV.

Les spectres du rayonnement gamma ont été enregistrés à intervalle d'une seconde. Le traitement des données a suivi les procédures standards décrites dans IAEA, 1991 et IAEA, 2003. Pendant le traitement, les spectres ont été soumis à un étalonnage énergétique et les coups ont été cumulés dans les plages décrites ci-dessus. Les coups obtenus à l'aide des capteurs de radon ont été enregistrés dans la plage de 1 660 à 1 860 keV et le rayonnement à des énergies supérieures à 3 000 keV a été enregistré dans la plage du rayonnement cosmique. Les coups enregistrés dans les plages ont été corrigés pour tenir compte du temps mort, du rayonnement de fond dû au rayonnement cosmique, de la radioactivité de l'aéronef et des produits de désintégration du radon atmosphérique. Les données pour les plages ont ensuite été corrigées pour tenir compte de la diffusion spectrale dans le sol, l'air et les capteurs. Les corrections pour les écarts à la hauteur de vol prévue et les variations de température et de pression ont été effectuées avant la conversion en concentrations équivalentes au sol du potassium, de l'uranium et du thorium, en utilisant des facteurs déterminés lors de vols effectués au-dessus de la bande d'étalonnage de Danielson, Saskatchewan. Les facteurs déterminés pour le potassium, l'uranium et le thorium sont présentés au Tableau 1.

	C-GJBA	C-GJBB	C-GJBG
Potassium (cps/%)	82.22	81.61	79.37
Uranium (cps/ppm)	11.55	12.11	12.39
Thorium (cps/ppm)	5.15	5.03	4.96

Tableau 1. Sensibilités des spectromètres de chacun des aéronefs

Les données corrigées ont été interpolées suivant une grille à maille de 100 m. Les résultats d'un levé aéroporté de spectrométrie gamma représentent les concentrations moyennes des 3 radioéléments naturels à la surface. Ces mesures sont influencées par la nature du morts-terrains, la présence d'affleurement, la couverture végétale et l'eau de surface. Par conséquent, les concentrations mesurées sont habituellement plus faibles que les concentrations réelles dans le substratum rocheux.

Données sur le champ magnétique

Le champ magnétique a été échantillonné 10 fois par seconde à l'aide d'un magnétomètre à vapeur de césium à faisceau partagé (sensibilité = 0,005 nT) rigidement fixé à l'aéronef. Les différences de valeur du champ magnétique aux intersections des lignes de contrôle et des lignes de levé ont été analysées par ordinateur afin d'obtenir un ensemble de données sur le champ magnétique mutuellement nivelées sur les lignes de vol. Ces valeurs nivelées ont ensuite été interpolées suivant une grille à maille de 100 m. Le champ géomagnétique international de référence (International Geomagnetic Reference Field, IGRF) défini à l'altitude moyenne fournie par les données GPS de 287 m pour l'an 2009,64 a été soustrait. La soustraction de l'IGRF, qui représente le champ magnétique du noyau terrestre, résulte en une composante résiduelle essentiellement reliée a la magnétisation de l'écorce terrestre.

La dérivée première verticale du champ magnétique représente le taux de variation du champ magnétique suivant la verticale. Le calcul de la dérivée première verticale supprime les composantes de grande longueur d'onde du champ magnétique et améliore considérablement la résolution des anomalies rapprochées les unes des autres ou superposées. L'une des propriétés des cartes de la dérivée première verticale est la coïncidence de l'isogamme de valeur zéro et des contacts verticaux d'unités magnétiques aux hautes latitudes magnétiques (Hood, 1965).

References / Références
Hood, P.J. 1965. Gradient measurements in aeromagnetic surveying. Geophysics, 30,891-902.

International Atomic Energy Agency, 1991. Airborne gamma ray spectrometer surveying. Technical Reports Series 323, IAEA, Vienna.

International Atomic Energy Agency, 2003. Guide lines for radioelement mapping using gamma ray spectrometry data. Technical Reports Series 363, IAEA, Vienna.

PLANIMETRIC SYMBOLS		SYMBOLES PLANIMÉTRIQUES
Drainage		Drainage
Flight line	1155 > 12345	Ligne de vol

Funding for this project was provided through the Strategic Investments in Northern Economic Development (SINED) program of Indian and Northern Affairs Canada and the Geomapping for Energy and Minerals (GEM) program of the Earth Sciences Sector, Natural Resources Canada. Project management and data quality control procedures were carried out by the Geological Survey of Canada (GSC) under the GEM program.

Ce projet est financé par le programme des Investissements stratégiques dans le développement économique du Nord (ISDEN) d'Affaires indiennes et du Nord Canada et le programme Géocartographie de l'énergie et des minéraux (GEM) du Secteur des sciences de la Terre de Ressources naturelles Canada. La Commission géologique du Canada (CGC) a assuré la gestion du projet et le contrôle de la qualité des données dans le cadre du programme GEM.

GSC OPEN FILE 6519 / DOSSIER PUBLIC 6519 DE LA CGC

GEOPHYSICAL SERIES / SÉRIE DES CARTES GÉOPHYSIQUES

AIRBORNE GEOPHYSICAL SURVEY OF THE NORTHEAST THELON BASIN, NUNAVUT
LEVÉ GÉOPHYSIQUE AÉROPORTÉ DE LA PARTIE NORD-EST DU BASSIN DE THELON, NUNAVUT

NTS 66 B/13 AND 66 C/16 / SNRC 66 B/13 et 66 C/16

THORIUM / POTASSIUM

Digital versions of this map, corresponding digital profile and gridded data, and similar data for adjacent aeromagnetic and gamma-ray spectrometric surveys can be downloaded, at no charge, from Natural Resources Canada's Geoscience Data Repository at http://gdr.nrcan.gc.ca. The same products are available, for a fee, from the Geophysical Data Centre, Geological Survey of Canada, 615 Booth Street, Ottawa, Ontario, K1A 0E9, Telephone: (613) 995-5326, email: infogdc@agg.nrcan.gc.ca.

On peut télécharger gratuitement, depuis l'Entrepôt de données géoscientifiques de Ressources naturelles Canada à l'adresse Web http://edg.rncan.gc.ca, des versions numériques de cette carte, des données numériques correspondantes en format profil et en format maille, ainsi que des données similaires issues des levés aéromagnétiques et spectrométriques adjacents. On peut se procurer les mêmes produits, moyennant des frais, en s'adressant au Centre de données géophysiques de la Commission géologique du Canada, 615, rue Booth, Ottawa (Ontario) K1A 0E9, Téléphone : (613) 995-5326, courriel : infogdc@agg.rncan.gc.ca.

MAP LOCATION - LOCALISATION DE LA CARTE

Authors: Harvey, B.J.A., Coyle, M., Buckle, J.L., Carson, J.M. and Hefford, S.W.

Data acquisition, compilation and map production by Goldak Airborne Surveys, Saskatoon, Saskatchewan. Contract and project management by the Geological Survey of Canada, Ottawa, Ontario.

Scale 1:50 000 - Échelle 1/50 000

metres 1000 0 1000 2000 3000 mètres

NAD83 / UTM zone 14N

Auteurs : Harvey, B.J.A., Coyle, M., Buckle, J.L., Carson, J.M. et Hefford, S.W.

L'acquisition, la compilation des données ainsi que la production des cartes furent effectuées par Goldak Airborne Surveys, Saskatoon, Saskatchewan. La gestion et la supervision du projet furent effectuées par la Commission géologique du Canada, Ottawa, Ontario.

Universal Transverse Mercator Projection
North American Datum 1983
©Her Majesty the Queen in Right of Canada 2011

Projection transverse universelle de Mercator
Système de référence géodésique nord-americain, 1983
©Sa Majesté la Reine du chef du Canada 2011

Digital topographic data provided by Geomatics Canada, Natural Resources Canada
Données topographiques numériques de Géomatique Canada, Ressources naturelles Canada

ᐱᕙᓪᓕᐊᔪᓕᕿᔨᒃᑯᑦ ᐃᖕᒋᕐᕙᔪᓕᕿᔨᒃᑯᓪᓗ
Pivalliayuliqiyikkut Ingilrayuliqiyitkullu
Department of Economic Development and Transportation
Ministère du Développement économique et des Transports
Nunavut

Canada GEM

MAP SHEET SUMMARY / SOMMAIRE DES FEUILLETS

Sheet Feuillet	MAP / CARTE
1.	Natural Air Absorbed Dose Rate Taux d'absorption naturel des rayons gamma dans l'air
2.	Potassium
3.	Uranium
4.	Thorium
5.	Uranium / Thorium
6.	Uranium / Potassium
7.	Thorium / Potassium
8.	Ternary Radioelement Map Diagramme ternaire des radioéléments
9.	Residual Total Magnetic Field Composante résiduelle du champ magnétique total
10.	First Vertical Derivative of the Magnetic Field Dérivée première verticale du champ magnétique

NATIONAL TOPOGRAPHIC SYSTEM REFERENCE AND GEOPHYSICAL MAP INDEX
SYSTÈME NATIONAL DE RÉFÉRENCE CARTOGRAPHIQUE ET INDEX DES CARTES GÉOPHYSIQUES

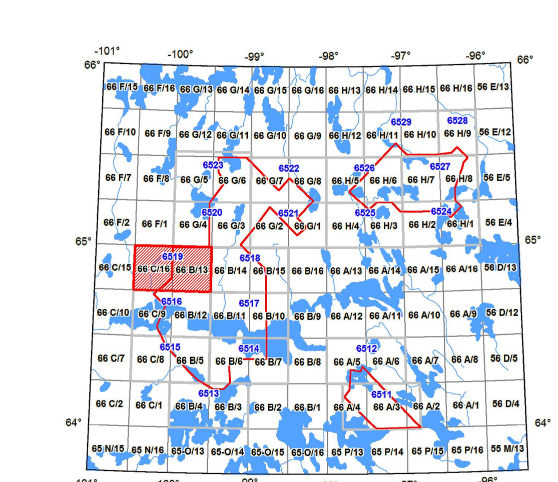

AIRBORNE GEOPHYSICAL SURVEY OF THE NORTHEAST THELON BASIN, NUNAVUT
LEVÉ GÉOPHYSIQUE AÉROPORTÉ DE LA PARTIE NORD-EST DU BASSIN DE THELON, NUNAVUT

OPEN FILE
DOSSIER PUBLIC
6519
GEOLOGICAL SURVEY OF CANADA
COMMISSION GÉOLOGIQUE DU CANADA
2011

SHEET 7 OF 10
FEUILLET 7 DE 10

Publications in this series have not been edited; they are released as submitted by the author.

Les publications de cette série ne sont pas révisées; elle sont publiées telles que soumises par l'auteur.

Recommended citation:
Harvey, B.J.A., Coyle, M., Buckle, J.L., Carson, J.M., and Hefford, S.W., 2011.
Geophysical Series,
Airborne Geophysical Survey of the Northeast Thelon Basin, Nunavut,
NTS 66 B/13 AND 66 C/16;
Geological Survey of Canada, Open File 6519,
scale 1:50 000.

Notation bibliographique conseillée :
Harvey, B.J.A., Coyle, M., Buckle, J.L., Carson, J.M. et Hefford, S.W., 2011.
Série des cartes géophysiques,
Levé géophysique aéroporté de la partie nord-est du bassin de Thelon, Nunavut,
SNRC 66 B/13 et 66 C/16;
Commission géologique du Canada, Dossier public 6519,
échelle 1/50 000.